

ЗАКОНОМІРНОСТІ ФОРМУВАННЯ МІКРОСТРУКТУРИ ТА РОЗПОДІЛУ МЕХАНІЧНИХ ВЛАСТИВОСТЕЙ ЗВАРНОГО З'ЄДНАННЯ, ОТРИМАНОГО МЕТОДОМ КОНТАКТНОГО СТИКОВОГО ЗВАРЮВАННЯ

M.В. Грушецький, І.Д. Гнилиця, П.М. Присяжнюк, М.І. Бартків

*IФНТУНГ, 76019, м. Івано-Франківськ, вул. Карпатська, 15, тел. (03422) 48241,
e-mail: zvd@nug.edu.ua*

Описано закономірності формування мікроструктури та розподілу механічних властивостей зварного з'єднання, отриманого методом контактного стикового зварювання з пульсуючим оплавленням хвостової частини осердя хрестовини залізничного стрілкового перевода з рейками. Розглянуто технологію та необхідне обладнання для отримання зварної конструкції хрестовини. За допомогою металографічного аналізу розглянуто структуру зон термічного впливу та переходних зон зварного з'єднання "марганцева сталь – аустенітна сталь (вставка) – рейкова сталь". Проведено вимірювання твердості за Бринелем на поверхнях кочення елементів хрестовини в процесі експлуатації і безпосередньо після зварювання хрестовини. Проведено аналіз розподілу твердості в зварній хрестовині.

Ключові слова: залізничний транспорт, хрестовина, контактно-стикове зварювання, зона термічного впливу, зносостійкість.

Описаны закономерности формирования микроструктуры и распределения механических свойств сварного соединения полученного методом контактной стыковой сварки с пульсирующим оплавлением хвостовой части сердечника крестовины железнодорожного стрелочного перевода с рельсами. Рассмотрена технология и необходимое оборудование для получения сварной конструкции крестовины. С помощью металлографического анализа рассмотрены структуры зон термического влияния и переходных зон сварного соединения "марганцевая сталь – аустенитная сталь (вставка) – рельсовая сталь". Проведены измерения твердости по Бринелю на поверхностях качения элементов крестовины в процессе эксплуатации и непосредственно после сварки крестовины. Проведен анализ распределения твердости в сварной крестовине.

Ключевые слова: железнодорожный транспорт, крестовина, контактно-стыковая сварка, зона термического влияния, износстойкость.

Regularities of microstructure forming and mechanical properties distribution in welded joints resulted from resistance butt pulsatory welding between the tail part of the centerpiece core of the railway switch with rails are described. The technology of producing a welded crosspiece is described as well as equipment required. The structures of thermally-effected and transition zones of welded joints (i.e. manganese steel – austenitic steel (insert) – rail steel) are examined by metallographic analysis. Brinnell hardness numbers of rolling surfaces of the centerpiece elements are established both after welding and during the exploitation

Keywords: railway transport, crosspiece, butt-joint welding, heat-affected zone, durability.

Вступ

Однією з актуальних проблем підвищення експлуатаційних характеристик і надійності залізничних стрілкових переводів є заміна болтових з'єднань зварними стиками. З'єднання хвостової частини осердя з рейками, що дотикаються, за допомогою болтів через накладки й вкладиші створює різкий перепад вертикальної жорсткості з'єднання й викликає місцеве зношування кінцівки осердя хрестовини та рейкового закінчення по поверхні кочення (рис. 1). Через це в процесі експлуатації виникають значні ударні навантаження, які призводять до інтенсифікації зношування хвостової частини осердя хрестовини та рейкових закінчень [1]. Також в ряді випадків стрілкові переводи з болтовим з'єднанням не перешкоджають проходженню рухомого складу дистанцій залізничних шляхів на більш високих швидкостях.

Перспективним методом підвищення експлуатаційних характеристик та надійності конструкції з'єднання хвостової частини осердя

хрестовини з рейками, що дотикаються, є застосування контактного стикового зварювання, що на даний час є найбільш актуальним на швидкісних ділянках залізничних шляхів. Також завдяки цьому удосконаленню розміри літтої частини осердя можуть бути меншими, що скорочує витрату високомарганцевої сталі більш ніж у 2 рази.

Технологія виробництва зварних хрестовин методом контактно-стикового зварювання з пульсуючим оплавленням передбачає використання вставки з високолегованої аустенітної сталі типу 12Х18Н9, 12Х18Н10, 12Х18Н9Т, 12Х18Н10Т ГОСТ 5632-72, необхідної для отримання зварного з'єднання осердя хрестовини з марганцевою зносостійкою аустенітноюсталі 110Г13Л ГОСТ 977-88 та рейок зі сталі М76 ГОСТ Р 51685-2000, які володіють незадовільною зварюваністю між собою. Хімічний склад вказаних сталей наведено відповідно у таблицях 1 і 2. В таблиці 3 наведено механічні властивості сталей елементів конструкції хрестовини стрілкового перевода.



Рисунок 1 – Спрацьовані частини елементів хрестовини

Таблиця 1 – Хімічний склад сталей аустенітного класу

Марка сталі	C, %	Ni, %	Cr, %	Mn, %	Si, %	Cu, %	Ti, %	Cr, %	P, %	S, %
12Х18Н9	до 0,12	8-10	17-19	до 2	до 0,8	-	-	17-19	до 0,035	до 0,02
12Х18Н10	до 0,12	9-11	17-19	до 2	до 0,8	-	-	17-19	до 0,035	до 0,02
12Х18Н9Т	до 0,12	8-9,5	17-19	до 2	до 0,8	до 0,3	до 0,8	17-19	до 0,035	до 0,02
12Х18Н10Т	до 0,12	9-11	17-19	до 2	до 0,8	до 0,3	до 0,8	17-19	до 0,035	до 0,02

Таблиця 2 – Хімічний склад сталей елементів конструкції хрестовини стрілкового переводу

Марка сталі	Mn, %	Ni, %	Si, %	C, %	Cr, %	Cu, %	P, %	S, %
M76 (рейка)	0,75-1,05	-	0,18-1,4	0,71-0,82	-	-	до 0,035	до 0,045
110Г13Л (хрестовина)	11,5-15	до 1	0,8-1	0,9-1,4	до 0,1	до 0,3	до 0,12	до 0,05

Таблиця 3 – Механічні властивості сталей елементів конструкції хрестовини стрілкового переводу

Марка сталі	σ_b , МПа	$\sigma_{0,2}$, МПа	δ , %	Ψ , %	$K_{CU+20,2}$ МДж/м
M76 (рейка) гартована	1200	810	6	2,5	2,5
110Г13Л (хрестовина)	654-830	360-380	44	37	-
110Г13Л (хрестовина) гартована	800-1000	250-400	35-45	40-50	2,0-3,0



Рисунок 2 – Загальний вигляд хрестовини залізничних стрілкових переводів



Рисунок 3 – Хрестовина з привареними рейковими закінченнями

Зварну конструкцію хрестовини виконують у два етапи: зварювання рейкової сталі зі вставкою та зварювання вставки з литим осередком хрестовини. Загальний вигляд хрестовини

залізничних стрілкових переводів зображеній на рисунку 2. Хрестовина з привареними рейковими закінченнями зображена на рисунку 3.

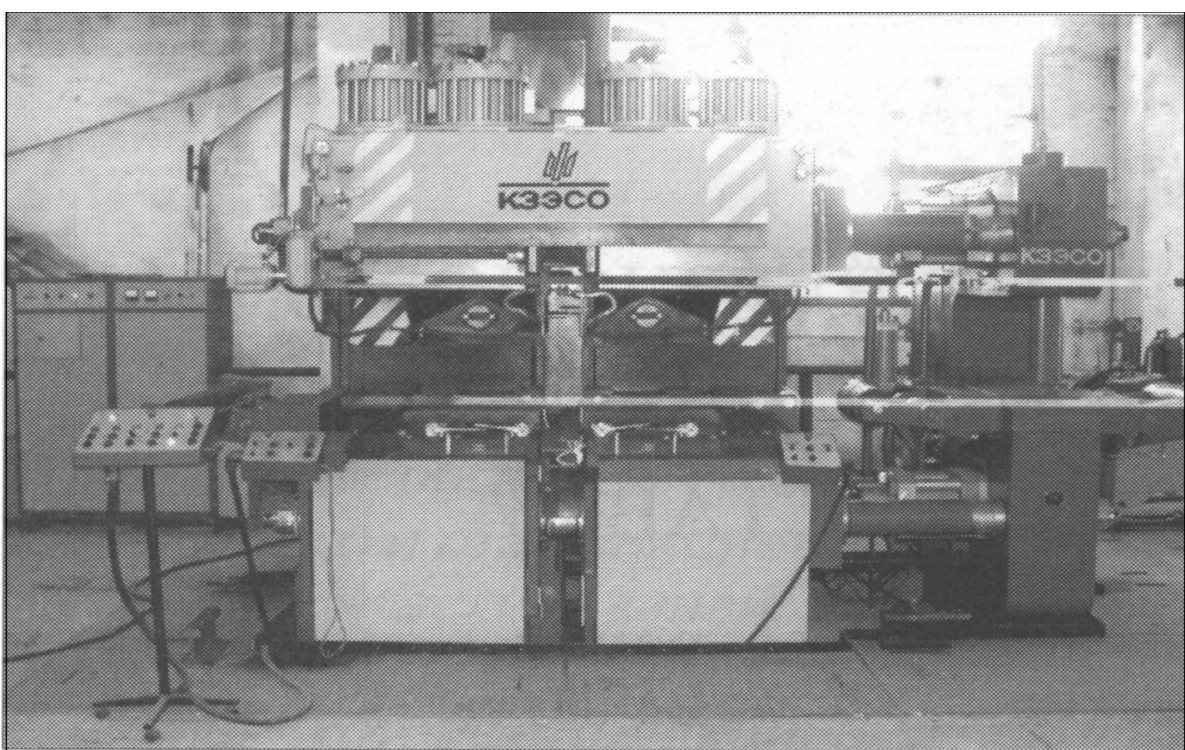


Рисунок 4 – Загальний вигляд зварювальної машини К924М



Рисунок 5 – Процес зварювання хрестовини стрілкового переводу

Для реалізації вказаної технології застосовували спеціалізоване обладнання – модернізовану зварювальну машину К924М консольного типу з бічним завантаженням деталей. Загальний вигляд зварювальної машини К924М зо-

бражений на рисунку 4, а процес зварювання хрестовини стрілкового переводу – на рисунку 5.

Застосування пульсуючого оплавлення [2] забезпечує оптимальне нагрівання рейкової і

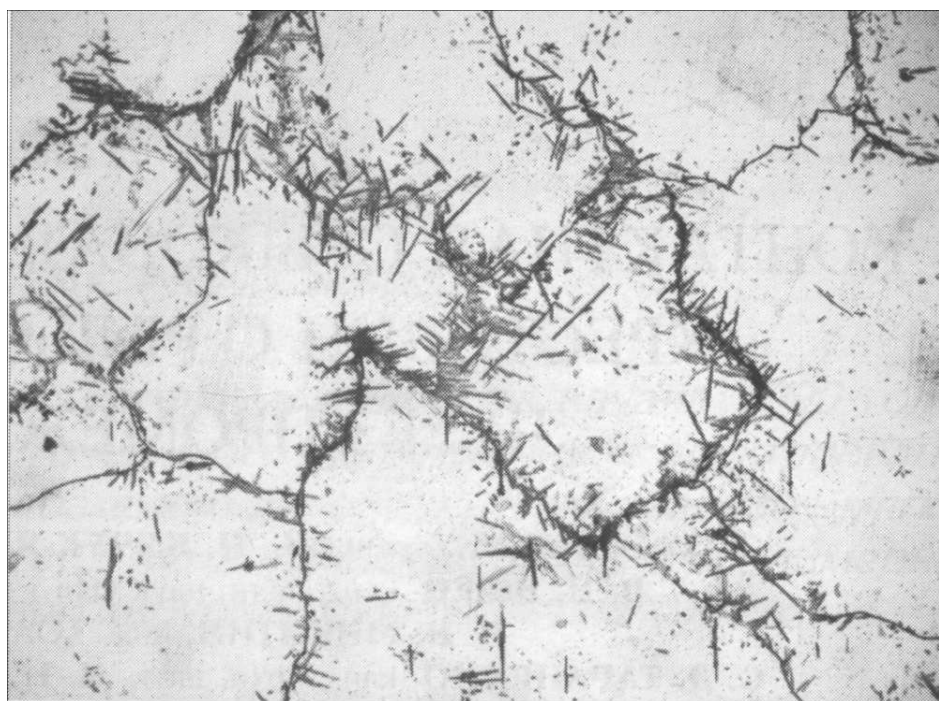


Рисунок 6 – Мікроструктура ($\times 200$) ЗТВ марганцевої сталі 110Г13Л

аустенітної сталі, які відрізняються за своїми теплофізичними властивостями, і, як наслідок цього, їх рівномірну деформацію при стисканні деталей в процесі контактно-стикового зварювання (осіданні).

Методика та результати досліджень

За результатами металографічного аналізу у структурі зварного з'єднання виділено такі ділянки:

- зона термічного впливу (ЗТВ) марганцевої сталі;
- ЗТВ вставки з аустенітної сталі;
- ЗТВ рейкової сталі;
- переходна зона “марганцева сталь – аустенітна сталь”;
- переходна зона “рейкова сталь – аустенітна сталь”.

Структура марганцевої сталі в ЗТВ залишається аустенітною. Зміни в мікроструктурі ЗТВ починаються з виділення карбідів на границях зерен. З підвищеннем температури цей процес інтенсифікується: карбідна сітка стає ширшою, з'являються голчасті карбіди в об'ємі зерна (рис. 6). При зростанні температури карбідоутворення гальмується, і у приконтактному шарі марганцевої сталі виявляються аустенітні зерна, що утворилися у процесі збірної рекристалізації. За більш високих температур карбіди розчиняються в матриці. Найбільш інтенсивно даний процес розвивається при 500 ... 600°C [3].

Центральна частина аустенітної вставки шириною близько 10 мм має структуру поліедричної будови з витягнутими уздовж прокату включеннями δ -фериту, що виділися на границях аустенітних зерен.

У приконтактній області металу вставки шириною близько 7 мм на границі як з рейковою, так і марганцевою стальми відбуваються

фазові перетворення. Спочатку проходить процес розпаду δ -фериту. У міру наближення до стику розпад δ -фериту інтенсифікується, і супроводжується фазовою перекристалізацією з утворенням феритно-аустенітної структури (рис. 7). Структури, що утворилися, не знижують показників міцнісних характеристик зварного з'єднання.

Рейкова сталь в ЗТВ зберігає сорбітоподібну структуру. У приконтактному шарі пластинчастий сорбіт переходить в зернистий, збільшується розмір зерен (рис. 8).

Перехідні зони контактних меж аустенітної сталі з рейковою і марганцевою формуються в результаті оплавлення торців деталей, що сполучаються, і подальшого при осіданні перемішування і витискування розплаву в грат. При цьому у переходних зонах утворюються структурні складові проміжного хімічного складу. Переходна зона “марганцева сталь – аустенітна сталь” має стабільну аустенітну структуру (рис. 9).

У переходній зоні “рейкова сталь – аустенітна сталь” (рис. 10) утворюються нестабільні аустенітні структури, в яких при охолодженні проходить мартенситне перетворення [4].

Для оцінки впливу наклепу, що виникає в процесі експлуатації, на твердість зварної залізничної хрестовини були проведені вимірювання твердості за Брінелем на поверхнях кочення елементів хрестовини (рис. 12). Результати вимірювань наведені на рисунку 11.

Твердість по поверхні кочення колісних пар значно підвищується в результаті наклепу і стає практично однаковою по всій поверхні. В зоні термічного впливу рейкової сталі (M76) відбувається вирівнювання твердості, що є позитивним фактором, з огляду на появу місцевого зношування в місцях зі зниженою твердістю.

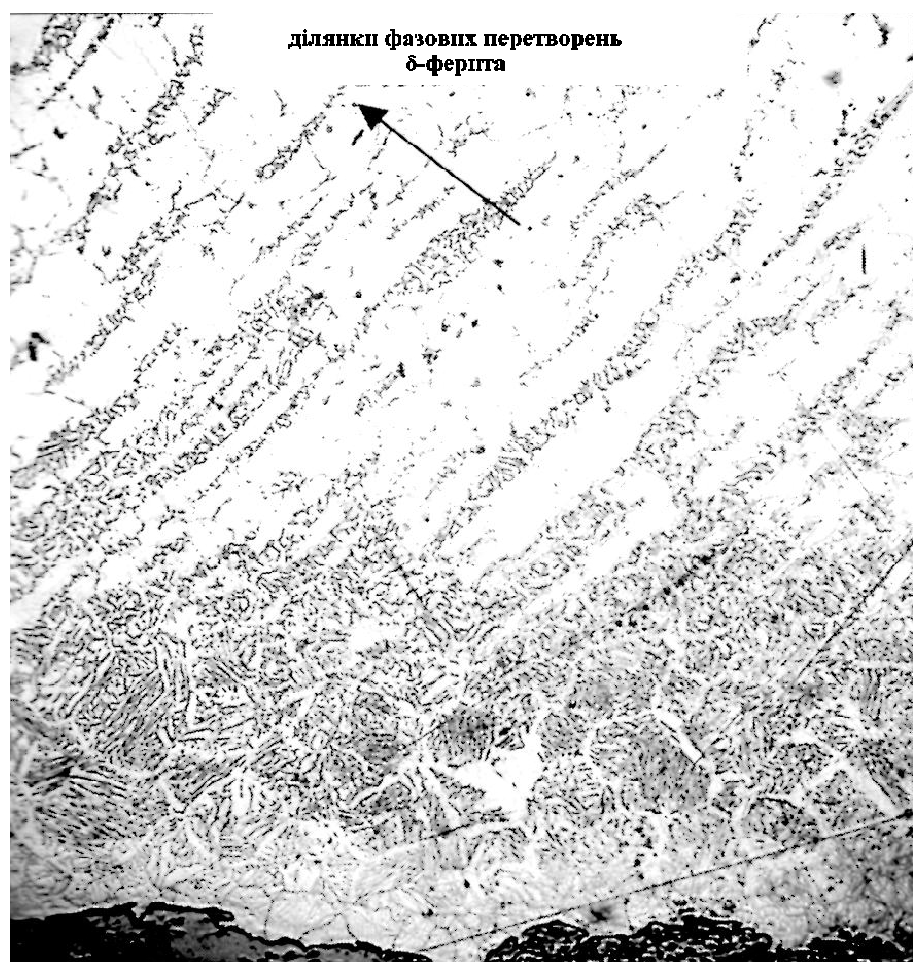


Рисунок 7 – Мікроструктура ($\times 200$) ЗТВ вставки з аустенітної сталі 12Х18Н10Т

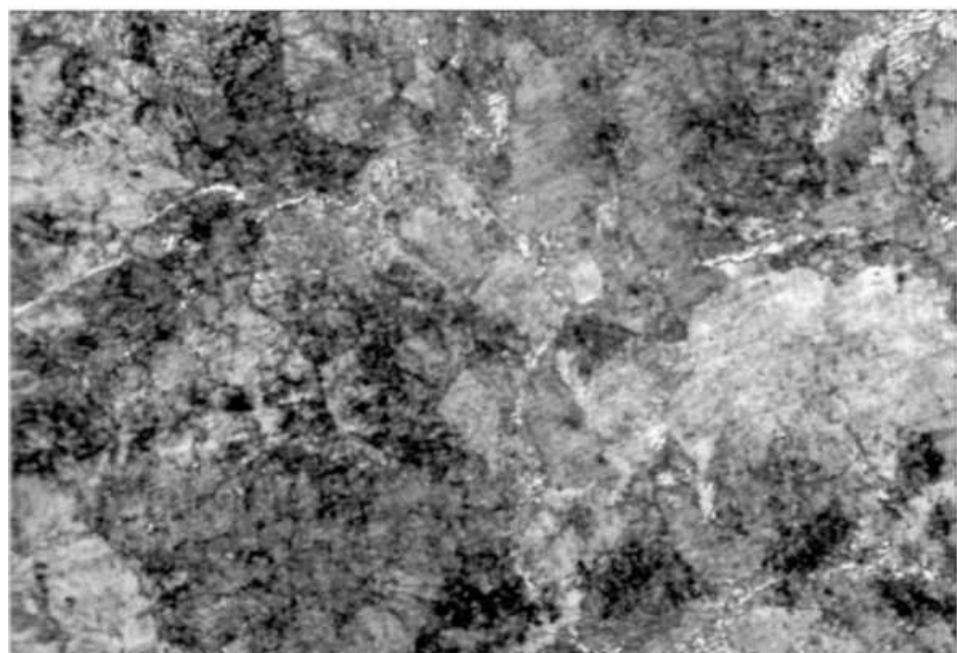


Рисунок 8 – Мікроструктура ($\times 500$) ЗТВ рейкової сталі М76

Незначне локальне зношування хрестовини в зоні вставки, яке виникає на початковому етапі експлуатації, пояснюється різним ступенем первинної деформації, необхідної для

утворення практично однакової твердості рейкової сталі М76, високолегованої аустенітної сталі 12Х18Н10Т та марганцевої сталі 110Г13Л і його подальшого розвитку не відбувається [5].

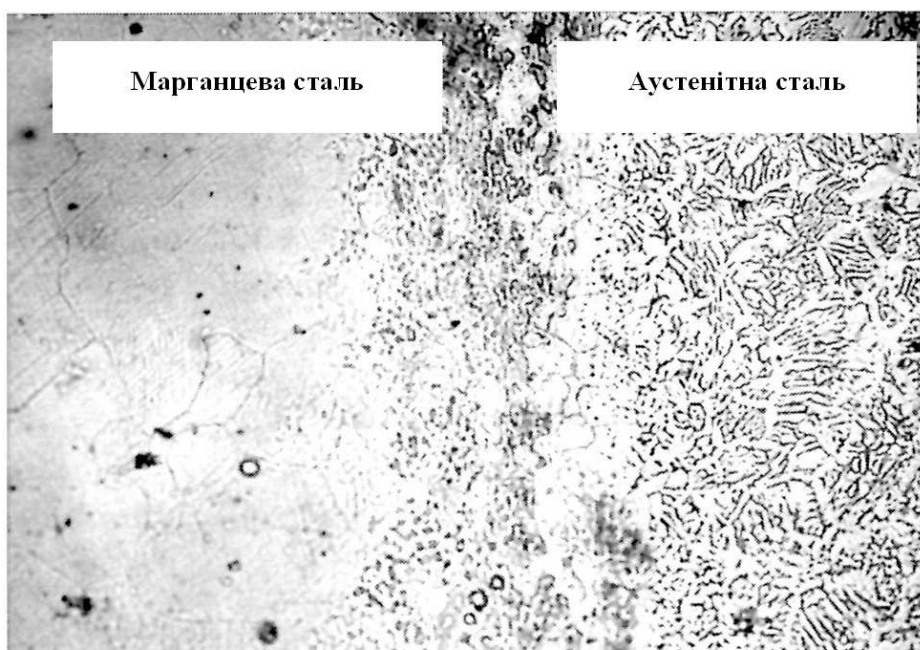


Рисунок 9 – Мікроструктура ($\times 200$) перехідної зони “марганцева сталь – аустенітна стальФ

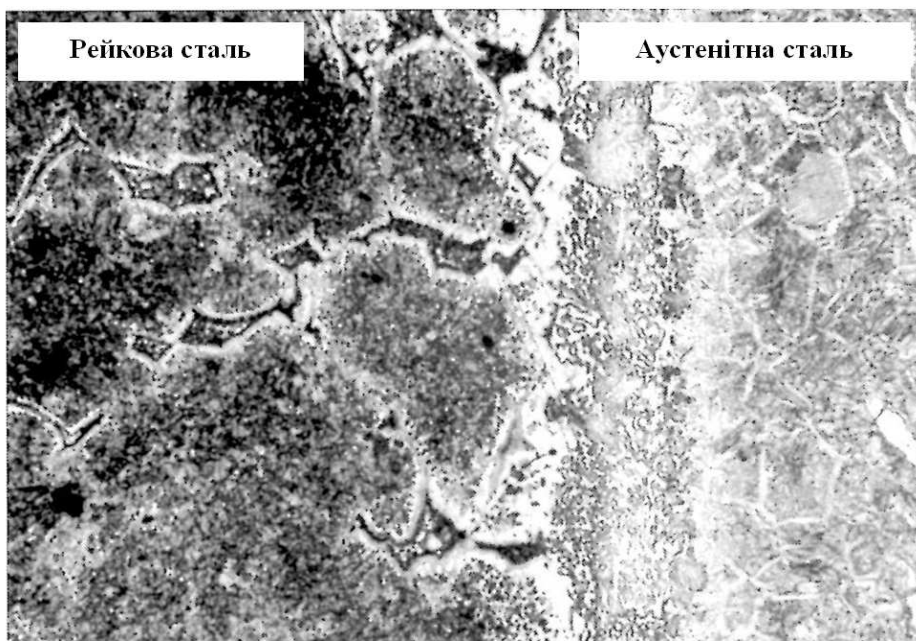


Рисунок 10 – Мікроструктура ($\times 200$) перехідної зони “рейкова сталь – аустенітна сталь”

Висновки

Контактне стикове зварювання з пульсуючим оплавленням що здійснюється за допомогою машини К924М, дає змогу отримувати зварні з'єднання елементів залізничних хрестовин, що задовольняють вимогам технічних умов [6] без застосування додаткової термічної обробки. У перехідних зонах та зонах термічного впливу зварюваних сталей не зафіксовано критичних структурних складових, які б негативно впливали на роботоздатність отриманого зварного з'єднання. Зростання твердості по поверхнях кочення елементів хрестовини при експлуатації внаслідок наклепу призводить до підвищення зносостійкості вузла.

Література

- 1 Карпушенко Н.И. Железнодорожный путь / Н.И. Карпушенко, С.И. Клинов, Н.Н. Пугря, М.П. Смирнов; за ред. Т.Г. Яковлева. – М.: Транспорт, 1999. – 405 с.
- 2 Контактнаястыковая сварка рельсов. Опыт применения и перспективы совершенствования / С.И. Кучук-Яценко, В.Г. Кривенко, А.В. Бондарук, А.В. Дидковский // Автоматическая сварка. – 2003. – №12. – С.32-37.
- 3 Превращения в аустенитной высокомарганцовистой стали / П.Л. Грузни, В.И Григоркин, В.В. Мураль, Л.Н. Москалев // Металловедение и термообработка металлов. – 1969. – №1. – С. 5-9.

M76

12Х18Н10Т

110Г13Л

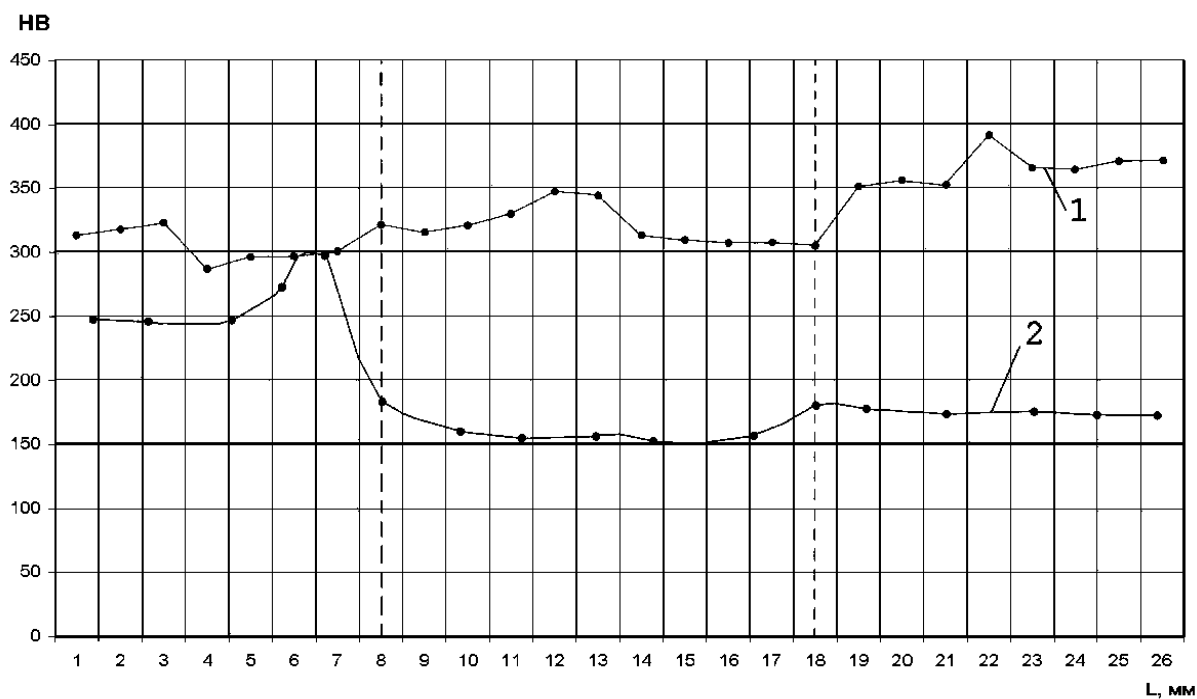


Рисунок 11 – Розподіл твердості за Брінелем у зварній хрестовині в процесі експлуатації (1) і після зварювання (2)



Рисунок 12 – Ділянки замірювання твердості за
Брінелем на поверхнях кочення елементів
хрестовини

4 Особенности формирования структуры соединений рельсовой стали M76 со сталью 110Г13Л, выполненных контактнойстыковой сваркой оплавлением / С.И. Кучук-Яценко, В.И. Швец, Г.Н. Гордань [и др.] // Автоматическая сварка. – 2006. – № 1. – С.3-9.

5 Работоспособность соединений железнодорожных крестовин, выполненных контактнойстыковой сваркой / С.И. Кучук-Яценко, В.И. Швец [и др.] // Автоматическая сварка. – 2008. – № 9. – С.38-42.

6 Хрестовини та сердечники з привареними рейковими закінченнями типу Р65, Р50 УІС60 ТУ У 27.3-26524137-1342:2006 [Чинне з 2006 – 05 – 12]. – УкрДНТЦ Енергосталь.

Стаття надійшла до редакційної колегії
12.12.11
Рекомендована до друку професором
Дрогомирецьким Я.М.